

Rys. 1-1104. SS219

Typ tranzystora: tranzystor krzemowy

Firma: RFT

Wykonanie: tranzystor krzemowy epitaksjalno-pla-narny *n-p-n* w obudowie plastikowej, ciężar około 0,1 G

Zastosowanie: technika cyfrowa

Typy podobne: 2SC641 (Hit), BSW58, BSW59 (Val), BSW11, BSW12, BSX80 (Tel), BSW13, BXY61 (Sie), TIS47, 48 (Tex), 2N4624, 2N4625 (Mot)

Wartości charakterystyczne¹⁾

	min	max		
I_{CB0}		300	nA	przy $U_{CB} = 20$ V
$U_{(BR)CE0}$	15		V	przy $I_C = 10$ V
$U_{(BR)EBO}$	5		V	przy $I_E = 5 \mu A$
U_{CEsat}		0,45	V	przy $I_B = 3$ mA, $I_C = 30$ mA
h_{21E} (A)	18	35		} przy $U_{CE} = 0,5$ V, $I_C = 30$ mA
(B)	28	71		
(C)	56	140		
(D)	112	280		
t_{ON}		35	ns	} przy $I_C = 0$, $I_{B1} = 3$ mA, $I_{B2} = 1,5$ mA, $R_L = 270 \Omega$
t_{OFF}		30	ns	

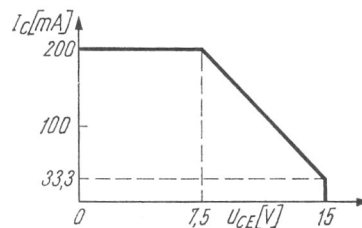
Wartości graniczne

U_{CB0} max	20	V	I_B max	20	mA
U_{CE0} max	15	V	P_{tot} max	200 ³⁾	mW
U_{EBO} max	5	V	t_j max	+125	°C
I_C max	100 ²⁾	mA	t_{amb}	-40 ÷ +100	°C
I_{CM} max	200	mA	$R_{th j-a}$	≤ 0,5	°C/mW

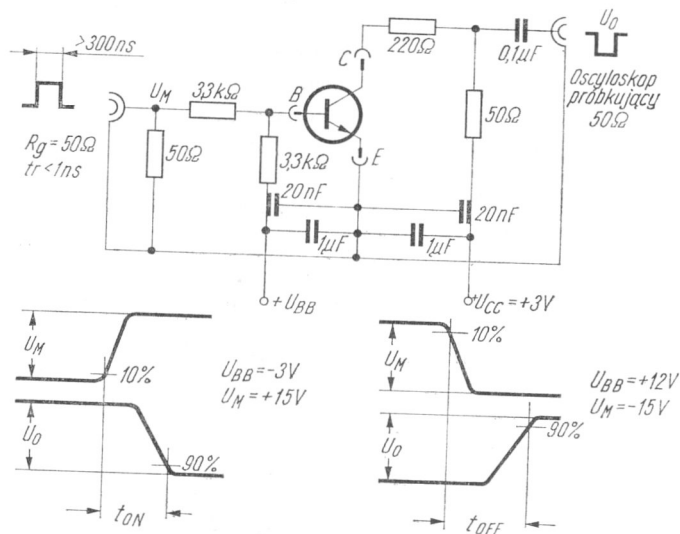
¹⁾ $t_{amb} = 25^\circ C (-5^\circ C)$

²⁾ $t = 0,9 \mu s$

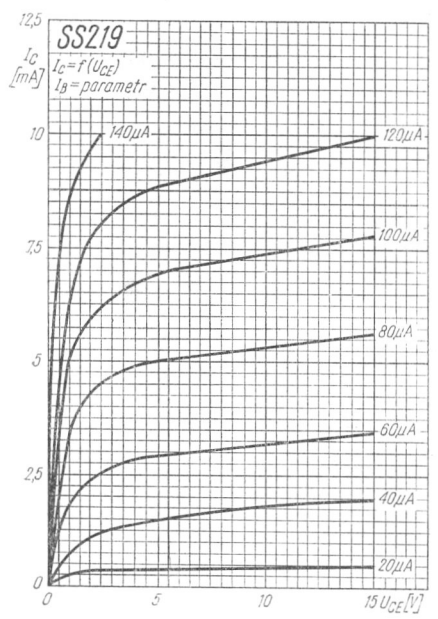
³⁾ $t_{amb} = 25^\circ C$



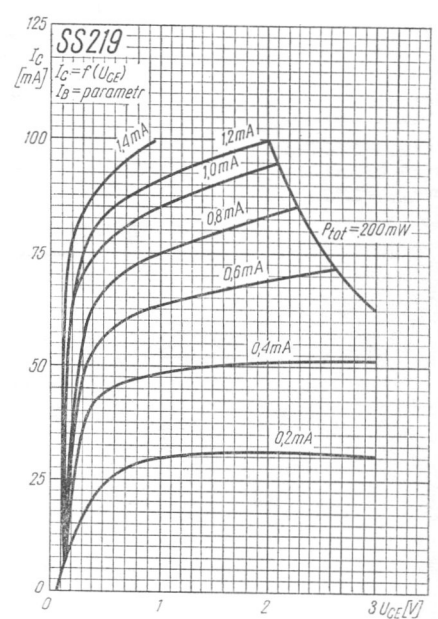
Rys. 1-1105. Dopuszczalny zakres pracy



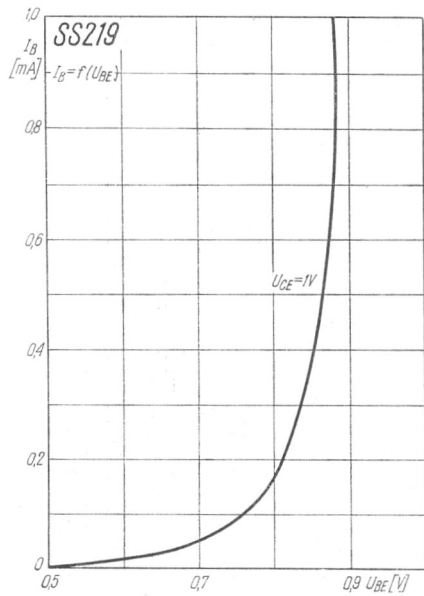
Rys. 1-1106. Układ pomiarowy czasów przełączania



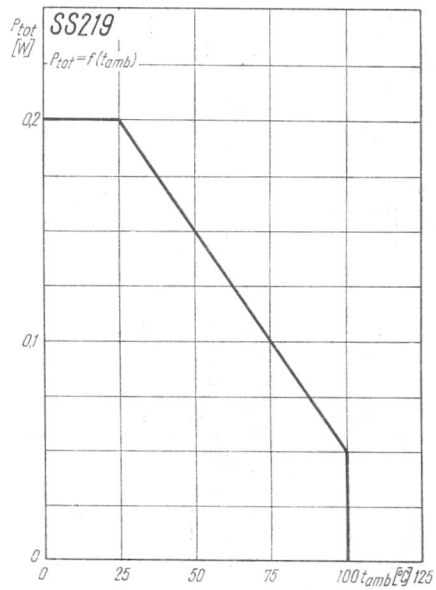
Rys. 1-1107. Charakterystyki wyjściowe



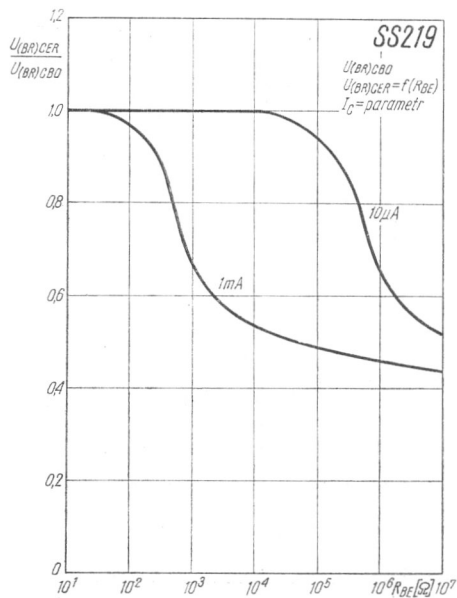
Rys. 1-1108. Charakterystyki wyjściowe



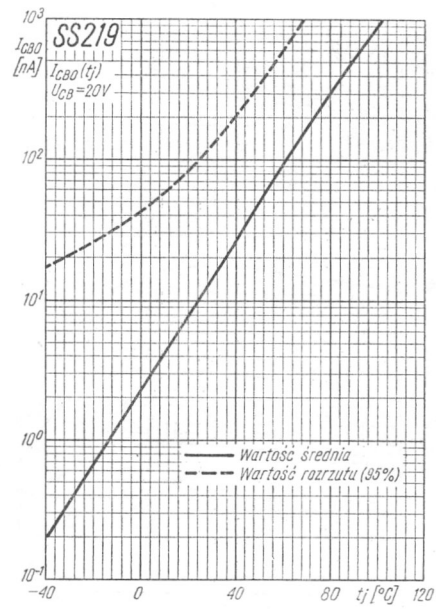
Rys. 1-1109. Charakterystyka wejściowa



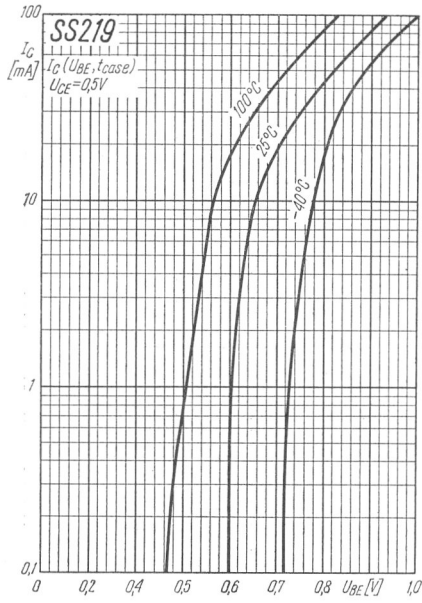
Rys. 1-1110. Zależność dopuszczalnej mocy strat od temperatury otoczenia



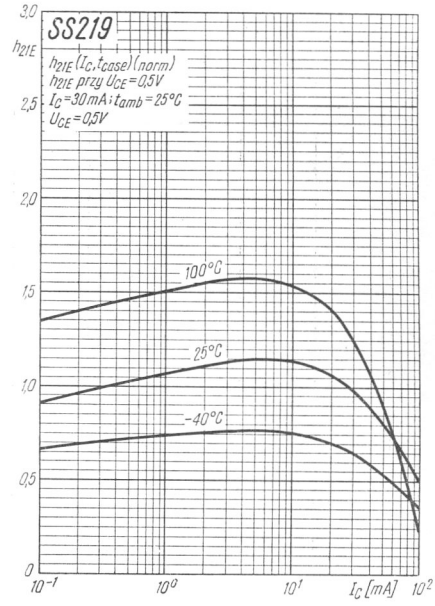
Rys. 1-1111. Zależność napięcia przebicia kolektora od rezystancji R_{BE}



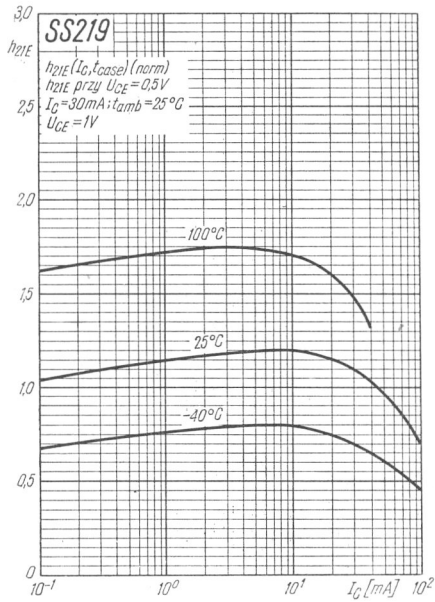
Rys. 1-1112. Zależność prądu zerowego kolektora od temperatury złącza



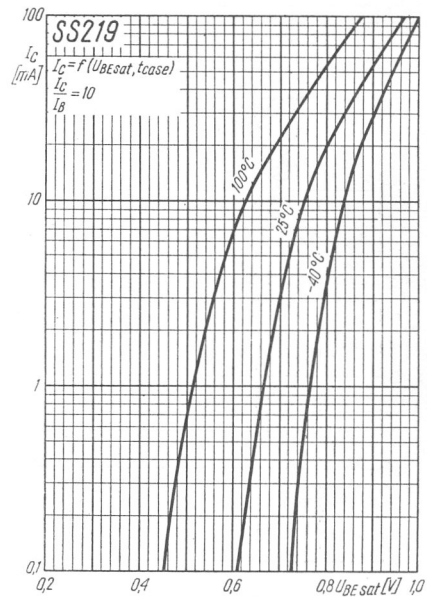
Rys. 1-1113. Charakterystyka sterowania napięciowego



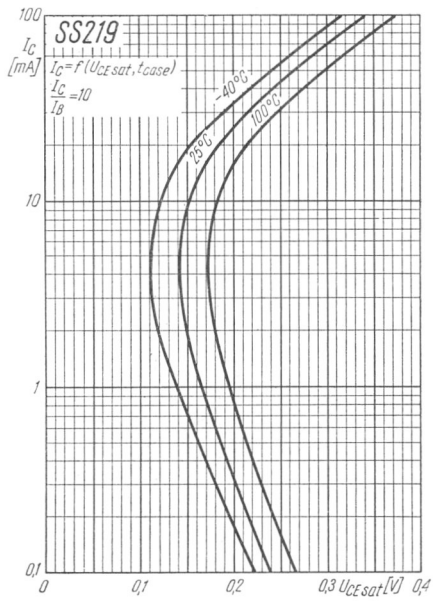
Rys. 1-1114. Zależność normowanego współczynnika wzmocnienia prądowego od prądu kolektora



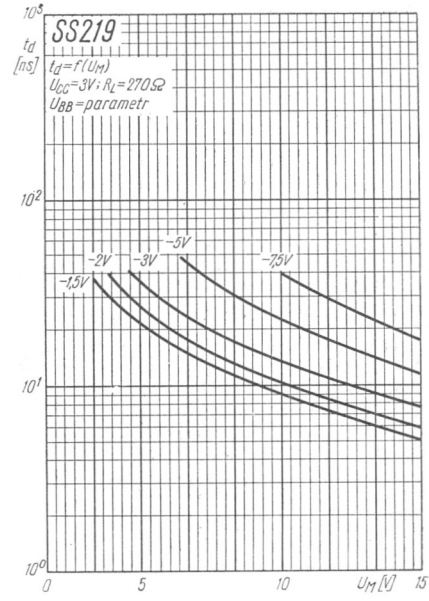
Rys. 1-1115. Zależność normowanego współczynnika wzmocnienia prądowego od prądu kolektora



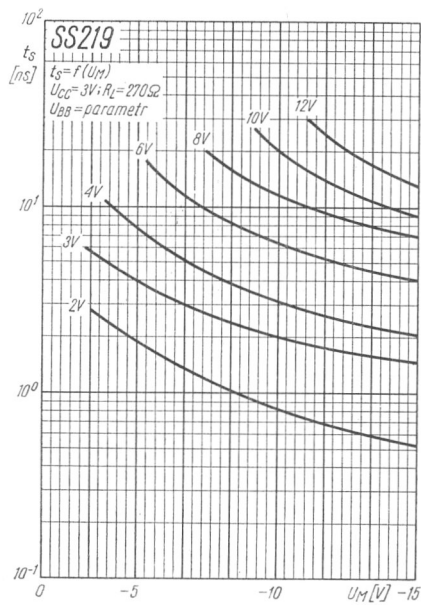
Rys. 1-1116. Zależność prądu kolektora od napięcia nasycenia bazy



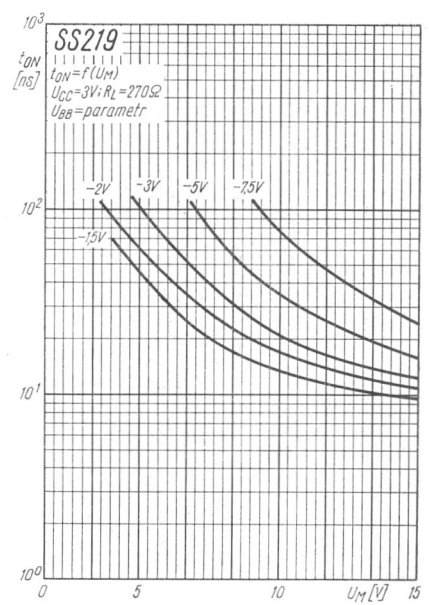
Rys. 1-1117. Zależność prądu kolektora od napięcia nasycenia kolektora



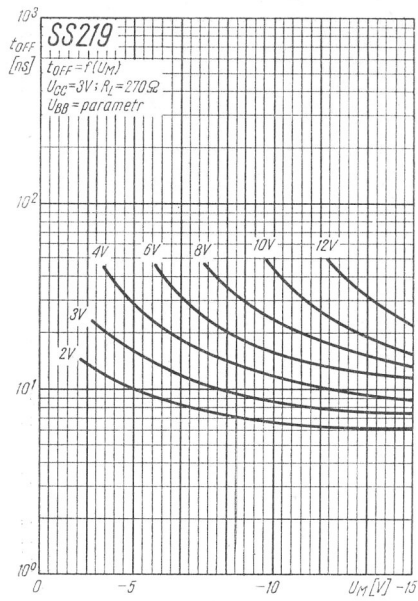
Rys. 1-1118. Zależność czasu opóźnienia od napięcia U_M



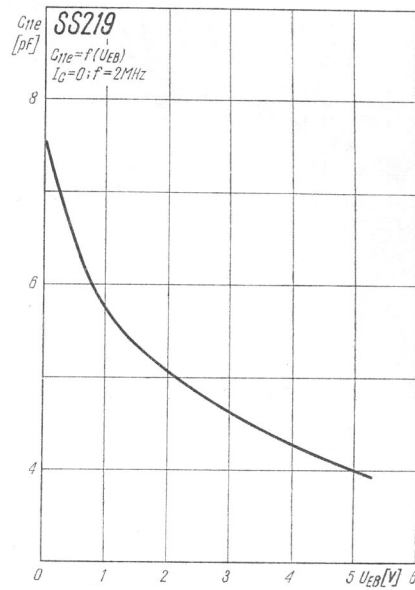
Rys. 1-1119. Zależność czasu akumulacji od napięcia U_M



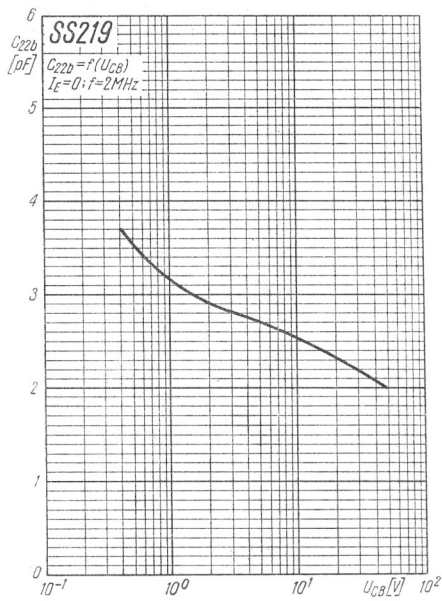
Rys. 1-1120. Zależność czasu włączania od napięcia U_M



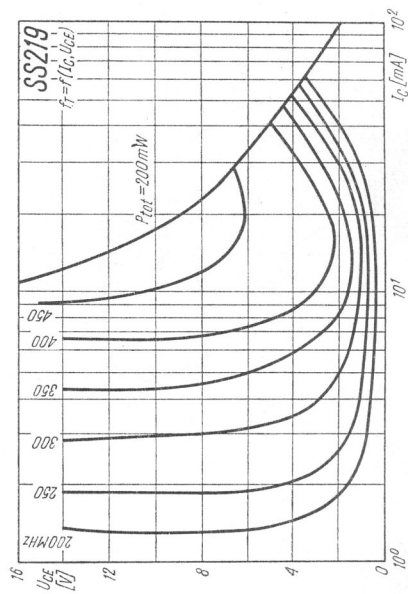
Rys. 1-1121. Zależność czasu wyłączenia od napięcia U_M



Rys. 1-1122. Zależność pojemności C_{11e} od napięcia



Rys. 1-1123. Zależność pojemności C_{22b} od napięcia



Rys. 1-1124. Zależność napięcia kolektora od prądu kolektora